

مؤارة المعلومات في النماذج ثلاثية الأبعاد للصور

المهندس باسم سليمان يوسف*

الدكتور المهندس محمد أيمن العقاد**

الدكتور عماد فتاش***

المخلص

مؤارة المعلومات هو علم إخفاء المعطيات المراد إرسالها ضمن ملفات معطيات أو صور أو صوت أو فيديو وقد تناولت الدراسات السابقة في هذا المجال النماذج ثنائية البعد، ولكننا سنتطرق في هذه الورقة البحثية إلى دراسة وتنفيذ خوارزميات المؤارة التي تعتمد الصور ثلاثية الأبعاد كمفاتيح غطاء، لأنها تقدم دقة وسرعة في الأداء فضلاً عن تقديمها إمكانيات لا تقدمها الطرائق ثنائية الأبعاد. ولذلك قمنا بإتباع منهجية بحث معمقة، والتي أثمرت في نهاية المطاف طريقة للقيام بعملية تضمين المعلومات في النماذج ثلاثية الأبعاد للصور ومن ثم استرجاع هذه المعلومات وقد أسمينا هذه الطريقة وحسب الآلية المستخدمة في عملية التضمين بخوارزمية المؤارة المعتمدة على الإزاحة.

الكلمات المفتاحية: المؤارة، الصور ثلاثية الأبعاد، تضمين المعلومات، استرجاع المعلومات، خوارزميات المؤارة.

* مقالة أعدت لنيل درجة الماجستير في هندسة الحواسيب للمهندس باسم سليمان يوسف بإشراف الدكتور محمد أيمن العقاد ومشاركة الدكتور عماد فتاش

** قسم الحواسيب والأتمتة - كلية الهندسة الميكانيكية والكهربائية - جامعة دمشق.

*** قسم العلوم الأساسية - كلية الهندسة الميكانيكية والكهربائية - جامعة دمشق.

1. مقدمة:

تزايد عمليات القرصنة والنسخ غير المشروع، خاصة عبر الإنترنت. ومع تنامي التجارة الإلكترونية، تزداد الحاجة لتقنية تحفظ هذه الحقوق. والفرق الرئيسي بين فن المؤارة التقليدي والعلامة المميّية هو أنه في الحالة الأولى يتم إخفاء المعطيات، حيث تكون هذه المعطيات هي الهدف من عملية الاتصال والتبادل، وهي التي يراد حمايتها. أمّا في الحالة الثانية، فإن المادة الرقمية نفسها، أو الملف الرقمي ذاته، هو الهدف من عملية الاتصال والتبادل والحماية، والمعطيات المخفية في داخله تصبح جزءاً منه، وتهدف إلى الحفاظ عليه، وتنظيم عملية تبادلها. لما كنا سنتعامل مع ملفات الصور (الثلاثية الأبعاد كملف الغطاء والثنائية الأبعاد كملف مراد مؤاراته) وجب علينا تعرّف هيئات ملفات الصور، وتقسيم الصور حسب تركيب ألوانها، وبنية الصور ثلاثية الأبعاد.

كما أن مبدأ المؤارة يختلف عن مبدأ التشفير فالتشفير يترك أثراً واضحاً في معالم الرسائل المرسلّة، ولا يتطلّب وسطاً ثانياً لإخفاء المعطيات، فهو يغير المعالم الظاهرة للنص المرسل بإحدى خوارزميات التشفير الكثيرة، بحيث يصعب فهمها بعد تشفيرها، إلا من قبل المرسل والمستقبل، في حين فن المؤارة يتطلّب وسطاً ثانياً يتم إخفاء المعطيات داخله، ولا يشترط تغيير معالم المعطيات المرسلّة.

دراسة مرجعية:

قام العديد من الدارسين بمحاولات جادة لابتنكار طرائق لتنفيذ المؤارة في النماذج ثلاثية الأبعاد ونذكر منهم - وليس على سبيل الحصر - كلاً من [13]:

Ryutarou Ohbuchi, Hiroshi Masuda,
Masaki Aono باقتراح الطرائق الآتية:

Tetrahedral volume ratio (TVR) - 1
embedding

علم المؤارة *Steganography* هو علم وفن إخفاء المعطيات المراد إرسالها (ملفات نصوص أو صور أو صوت أو فيديو) داخل معطيات أخرى (ملفات نصوص أو صور أو صوت أو فيديو) بشكل احترافي دون ترك أي أثر أو شك بأن هناك رسالة سرية داخل رسالة الغطاء بالاستفادة من الخانات الثنائية غير المهمة، أو تلك التي يصعب اكتشافها في حال تم تحويلها أو بالأحرى فتح قناة اتصال سرية ضمن قناة اتصال موجودة ومعروفة. وأهم ثلاثة عناصر مستخدمة في علم المؤارة هي: **ملف الغطاء** وهو ملف الصورة ثلاثية الأبعاد الذي نستخدمه في إخفاء المعطيات المطلوب إخفاؤها فيه، إذ يتم اختياره حسب كمية المعطيات المطلوب إخفاؤها، ومدى استيعاب ذلك الملف لتلك المعطيات، مع مراعاة خفض نسبة التشوه التي تطرأ عليه عند إدخال المعطيات، بعد إخفاء المعطيات داخله. **الملف المضمّن** وهو ملف يحتوي المعطيات المطلوب إخفاؤها، وقد يكون نصاً أو صورة، مع ملاحظة حجم تلك المعطيات ومقارنتها بملف الغطاء المستخدم، وعلى العموم لا تكاد تقارن الملفات النصية بحجمها مع ملفات الصور، ويفضل عند استخدام ملفات الصور أن تكون من نوع *JPG* أو مثيلاتها في الحجم. **خوارزمية الإخفاء** وهي الأسلوب الذي نعتمده في إخفاء المعطيات. وتعدّ العلامات المميّية الرقمية *watermarks* رسالة مخفية داخل صورة رقمية، أو ملف صوتي، أو ملف فيديو رقمي [9][10][11][12]. ويمكن أن تكون هذه العلامة المميّية عبارة عن اسم المنتج، أو اسم الناشر، أو معطيات الشركة، أو رقم تسلسلي، أو رقم تعريف خاص بالمستثمر تضمن له حقوقه في ملكية ما اشتراه وتحميه، وقد اكتسبت العلامة المميّية الرقمية هذه الأهمية، لأنها تسهم في حفظ حقوق الطبع والنشر والتأليف والملكية في العالم الرقمي، في ظل

القوم لذلك الجسم مما يضيف الكثير من العمليات الحسابية التي سيقوم بها الحاسوب للتحكم بهذا الشكل والشكل (1ت) يمثل كرة متعددة الأوجه. وإضافة الألوان إلى كل وجه من الأوجه هي الطريقة الأخرى لإعطاء الواقعية على شكل الجسم المعروف وتسمى تلك الطريقة التسطيح *flattening* وهي أكثر واقعية من الطريقة الأولى. ولذلك يجب استخدام مصدر للإضاءة لأن عين الإنسان تلاحظ اختلاف الإضاءة حولها لذلك عند أخذ مصدر الإضاءة بالحسبان فإننا نحصل على نتائج قريبة من الواقع. ويمكننا تحديد مصدر الإضاءة من خلال الانعكاسات المتولدة عنه مثلاً تكون الألوان فاتحة عندما نقترّب من مصدر الضوء وتميل إلى الأعمق عند الابتعاد عنه. عندما نريد أن نصنع عالماً واقعياً على الحاسوب فإننا لا نرى بدأً من استخدام الأبعاد الثلاثية. في الصور ثنائية البعد الملونة يوجد لدينا ثلاث مصفوفات هي مصفوفات الألوان الرئيسية أمّا في الثلاثي البعد فيوجد لدينا ست مصفوفات ثلاثة منها للألوان ومصفوفة النقاط (x,y,z) .

2-1 شرح أهم التقنيات في عالم الرؤية ثلاثية الأبعاد:

أولاً: الستييريوسكوب (المنظار المزدوج):

تمكناً من تسمية هذا النمط بالمنظار المزدوج لما يقوم به من مزوجة بين صورتين التقطتا لمشهد واحد ولكن من زاويتين مختلفتين، فتوضعان في هذا الجهاز الذي ينظر داخله المستخدم إلى الصورتين بأن واحد، فيتوهم له بأنهما صورة واحدة ثلاثية الأبعاد تسمى بالستييريوغراف *stereograph*.

من الجدير بالذكر أن مركبة مارس باثفايندر *Mars Pathfinder* الفضائية التي حطت على سطح المريخ عام 1997، ما هي إلا آلة تعتمد على مبدأ الستييريوسكوب لتشكيل صور ثلاثية الأبعاد باستخدام

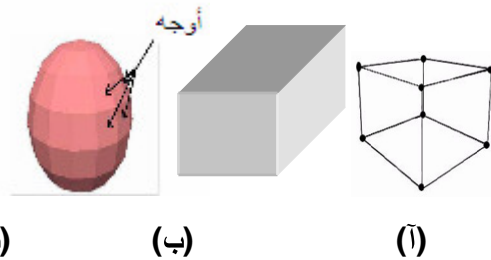
تعتمد على التضمين بشكل نسبي لحجوم السطوح التي تشكل الشبكة المضلعة

2 - Triangle similarity quadruple (TSQ)

إن المثلثات التي تتكون منها الصورة ثلاثية الأبعاد كل أربعة منها تتلاقى في ذروة واحدة فبتغيير مكان هذه الذروة تحصل عملية التضمين.

2. بنية الصور ثلاثية الأبعاد:

البعد الثالث هو العمق فذلك نحتاج إلى 3 مركبات حتى يتم تحديد أي نقطة في الفضاء (x,y,z) . والأجسام في الواقع هي عبارة عن مجموعة نقاط مختلفة متصلة ببعضها بعضاً. مثلاً نستطيع أن نعبر عن مربع عن طريق أربع نقاط رؤوس زواياه، ومن ثمّ المربع هو عبارة عن خطوط توصل تلك النقاط فيما بينها ولو أخذنا شكلاً آخر مثل الصندوق بحيث نرى النقاط موصلة كما في الشكل (1أ)، وتسمى طريقة العرض هذه الإطار السلكي *wireframe*. لكن الصندوق ليس مجرد نقاط فقط بل هناك ألوان مختلفة لكل وجه من أوجهه بحيث تعطي الشكل العام للصندوق كما في الشكل (1ب).



الشكل (1): (أ) تمثيل الصندوق. (ب) تمثيل الصندوق مع الألوان. (ت) كرة متعددة الأوجه

أمّا الكرة فتتكون من أكثر من وجه يمثلون في مجموعهم شكل الكرة، ولكل وجه عدة نقاط تسمى القمم *vertices* قد يزيد أو يقل عددها لكل وجه، تكون متصلة بنقاط أخرى لوجه آخر وهكذا (في حالة الصندوق إن كل وجه يتكون من أربع نقاط). وكلما زاد عدد الأوجه لجسم معين زاد قربته من الشكل الواقعي ولكن زيادة عدد الأوجه يؤدي إلى زيادة عدد

الصور العديسية *Images Lenticular*:

بطاقة تهنئة صغيرة، تفتحها فترى وردة، تحرك البطاقة فترى أبعاداً جديدة للوردة تظهر لك، وكأنها مجسمة ... هذه هي الصورة العديسية.

إنها عبارة عن مجموعة من الصور المتماثلة والمركبة فوق بعضها بعد أن شطرت كل منها إلى أشرطة عمودية دقيقة جداً، ومن ثم لصقت بجوار بعضها، وركبت فوقها طبقة بلاستيكية ذات ارتفاعات وانخفاضات عمودية ومتجاورة. عندما تميل البطاقة فإنك ترى صورة تمررها مجموعة من تلك الأشرطة دون غيرها بسبب ذلك الميلان، وتغيير زاوية رؤيتك فإنك ترى صورة أخرى، بتركيب هذه الصور في الدماغ تتشكل الصورة ثلاثية الأبعاد.

النمذجة ثلاثية الأبعاد باستخدام الحاسب:

مؤضة العصر في الإنتاج السينمائي، شركة تصوير ومونتاج للأفلام مؤلفة من 4 موظفين، وطايم دوبلاج صوتي بعدد شخصيات الفيلم. لم نعد بحاجة للكاميرا ولا كادر التصوير.

ما على المصمم إلا أن يعطي بعض التفاصيل للحاسب حول الغرض الذي يرغب بتصويره تصويراً ثلاثي الأبعاد والزوايا التي يرغب بتجسيم الغرض وفقها، كل ذلك باستخدام هياكل شبكية ينشئها باستخدام الماوس وبرنامج رسومي احترافي كـ *Maya* مع كثير من الدقة والتفكير والإبداع، ومن ثم يترك مهمة الإضاءة والألوان والحركة والتلاؤم الكلامي للموظفين الـ 3 الآخرين الذين سينكفلون بالمهمة كاملة.

الهولوغرام:

يعدُّ الهولوغرام تقنية متقدمة للصور ثلاثية الأبعاد، إذ يعتمد على فصل أشعة الليزر الصادرة من منبع ليزري إلى حزمتين، ومن ثم توجيه الحزمتان باتجاه جسم مادي ما، فترتد إحدى الحزمتين عن الجسم وتجتازة الأخرى وفقاً لمجموعة العدسات التي تمر

3 عدسات لكل رأس تصويري من المركبة وإرسالها إلى محطة الاستقبال الأرضية.

ثانياً: الأناغليف *Anaglyph* أو طريقة التلوين الثنائي:

ربما سبق لنا وأن رأينا صورة ملونة باللون الأزرق المخضر واللون الأحمر، ومرفقاً معها نظارة خاصة، وعندما نضع النظارة نرى الصورة وكأنها ثلاثية الأبعاد، وفي الحقيقة، ما عدسات الرؤية لهذه النظارة إلا عبارة عن مرشحين لونيين، أحدهما للون الأحمر والآخر مرشح للون الأزرق المخضر، أما الصورة فهي عبارة عن مسطتين للصورة بزوايتين مختلفتين، وعندما ننظر من خلال النظارة فإن إحدى العدستين ترشح مسطاً وتبقي على الآخر، ومن ثم تتشكل في كل عين صورة بزواية إسقاط مختلفة، ومن بعدها تتم المزوجة في الدماغ لتشكيل صورة واحدة.

ثالثاً: الصورة المستقطبة ثلاثية الأبعاد:

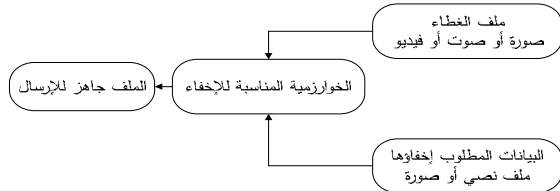
تستفيد هذه التقنية من ظاهرة استقطاب الضوء والمقطبات، إذ تنطوي هذه الظاهرة على السماح بترشيح الأشعة الضوئية عند ورودها إلى سطح المقطب بزواية ما، ولا تسمح لها بالمرور إذا ما مرت بالاتجاه المعامد لتلك الزاوية، ومن ثم يمكن تصميم صالات عرض خاصة تستخدم نوعين من أجهزة الإسقاط بحيث يكون إسقاطها متعامداً فيما بينهما، فتقوم النظارات التي يرتديها المشاهدون بتكوين صور ثلاثية الأبعاد من خلال ترشيح إحدى العدستين للصورة الواردة من أحد جهازي الإسقاط ولا تسمح بإمرار الصورة الواردة من الأخرى، أما الفيلم المعروض فقد تم تصويره بكاميرتين من زوايتين مختلفتين، مما يجعل المشاهد يشعر وكأنه داخل الفيلم تماماً.

رابعاً: الستييريوغرام الأوتوماتيكي

Autostereogram:

وهو ستييريوغرام يعرض صوراً يراها المشاهد ثلاثية الأبعاد ولكن دون استخدام أي نظارة. وسنورد بعضاً من أنماط الستييريوغرامات الأوتوماتيكية:

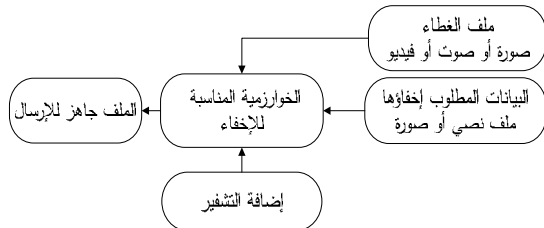
معظم النماذج ثنائية الأبعاد أصبحت عرضة للاختبار والتفتيش والتحليل الذي أدى إلى هدم المفهوم الرئيسي الذي تقوم عليه الموارد، فرأينا أنه من الأجدر الانتقال إلى النماذج ثلاثية الأبعاد وذلك لأنها جديدة التداول وتؤمن الأماكن الملائمة لموارد الرسائل. سنستخدم في دراستنا الصورة ثلاثية الأبعاد كمثال عن النماذج ثلاثية الأبعاد. وسنتناول المبدأ العام للموارد والقواعد الأساسية لبناء خوارزميات الموارد وأنماط اختيار المكان المناسب للتضمين داخل الملف الغطاء والتعريف الرياضي لتابع الموارد وحساب جودة الصورة. تتبع أغلب طرائق الموارد المبدأ العام التالي الموضح بالشكل (2):



الشكل (2): مخطط عملية إخفاء ملف التضمين داخل

ملف الغطاء.

يمكن أن يزيد التشفير من متانة العملية إذ سيصبح من الصعب تحديد وجود إخفاء في الملف المرسل، ثم يصبح من المعقد فك النص المخفي المشفر، فيصبح مخطط عملية الموارد كما في الشكل (3).



الشكل (3): إضافة فن التشفير يزيد من قوة العمل.

يمكن أن يكون ملف الغطاء ملفاً نصياً، وكمثال:

(سيلعب وليد رياضة يراها مهمة، أرادها لعبة لينمي هوايته، حتى الرياضي مثله بطور هوايته الخاصة). بعد قراءة النص لن نجد فيه ما يدل على وجود نص مخفي. نسحب الحرف الأول من كل كلمة ونقرأ ما

من خلالها، فتسقط الحزمة التي تجتاز الجسم والتي يصددها على فيلم ضوئي واقع خلف الجسم، فنحصل على الصورتين اللتين نرغب بإيصالهما إلى الدماغ ليمزج بينهما ويكون صورة ثلاثية الأبعاد.

يستفاد من هذه التقنية في كثير من التطبيقات، وأهمها تجهيزات تخزين البيانات الضوئية، إذ يمكن للصورة أن تختلف وفقاً لاختلاف الزوايا التي توجهها وفقها الحزم، مما يزيد من احتمالات الحصول على المعلومة من الوسط الضوئي ذاته، وهو ما تم تطبيقه في الأقراص الضوئية التي سنراها بين أيدينا قريباً، أي إنها سترسل إلى وحدة القراءة صوراً مختلفة من الوسط الضوئي ذاته بتغيير زاوية قراءته، ومن ثمّ نحصل على ساعات تخزينية أكثر للبيانات.

يرتدي المستخدمون لهذه التقنية خوذة أو نظارات مزودة بشاشتين LCD ويوجد فوق كل شاشة عدسات مكبرة. تستخدم هذه التقنية لمشاهدة الأفلام والصور والألعاب وتستخدم أيضاً لمحاكاة المناظر والمشاهد. يمكن أن تزود هذه الخوذ بمتنوعات للحركة حيث تحاكي حركة الرأس والالتفات وكأن الإنسان ينظر إلى ما حوله بشكل حقيقي ولكن هذه العملية بحاجة إلى عمليات ضخمة من معالجة الصور وإلى أجهزة معالجة قوية بحيث تحاكي السرعة في تغيير المشاهد لأن لكل جسم ستة محاور إذا افترضنا أن الطريقة المستخدمة في تمثيل الجسم هي (الاتجاه والموضع).

استخدمت هذه التقنية أيضاً في مجال دمج الصور الشعاعية x-ray من أجل مشاهدة العناصر الغائبة في الصور العادية.

واستخدمت هذه التقنية في العمليات الجراحية عن بعد عن طريق المزج بين الصور الشعاعية وصور الرنين المغناطيسي MRI.

3. موارد المعلومات في النماذج ثلاثية الأبعاد للصور:

تناولت أغلب الدراسات التي أجريت في مجال الموارد النماذج ثنائية الأبعاد ومن ثمّ فإن

بوحدة البت bit . على سبيل المثال لتضمين LSB (Least Significant Bit) في صورة ذات تدرج رمادي تكون سعة التضمين تساوي عدد عناصر الصورة $pixels$. إذا كان طول الرسالة المُضمَّنة m أصغر من سعة التضمين نقول عن الرسالة إن لها طولاً نسبياً مقداره m/M . ويُقاس تأثير التضمين (أو تشويه التضمين) بما يأتي $D(c,s)$ إذ D المسافة المعرفة على C . عادةً يُستخدم لقياس المسافة مربع متوسط الخطأ، وتوابع الإخفاء التي تعطي تشوهاً قليلاً في التضمين يكون احتمال كشفها أقل من تلك التي لها تشويه أكبر.

3.3. حساب جودة الصورة:

تستخدم النسبة بين القيمة العظمى للإشارة والضجيج ($PSNR$) $Peak Signal to Noise Ratio$ للتعبير الموضوعي عن جودة الصورة المعاد تركيبها، ويتم حسابها وفق العلاقة الواردة لاحقاً. وتعتبر هذه النسبة عن جودة الصورة المعاد تركيبها مقارنة بالصورة الأصلية وكلما كانت هذه القيمة أكبر، دل ذلك على تقارب الصورة المعاد تركيبها مع الصورة الأصلية. يجب أن يؤخذ في الحسبان أن هذه النسبة لا تعبر دائماً عن الإدراك البشري الفعلي لجودة الصورة المعاد تركيبها. وتجرى بحوث كثيرة للوصول إلى أساليب أدق وأشمل للتعبير الموضوعي عن جودة الصورة. ولكن مع ذلك تستخدم هذه النسبة على نطاق واسع لسهولة حسابها مدركين أن القيم الكبرى لها لا تعني بالضرورة جودة أفضل للصورة. وتصادف حالات تنخفض فيها هذه النسبة مع أن جودة الصورة تصبح أفضل وفق ما يراه المشاهد، وسنوضح فيما يلي كيفية حساب هذه النسبة. سوف نفترض أن الصورة الأصلية معطاة بالتابع $f(i,j)$ ومقاسها $N \times M$ وفق عدد عناصر الصورة أفقياً وشاقولياً كما أن الصورة المعاد تركيبها معطاة بالتابع $F(i,j)$ ونكتفي بتطبيق الحسابات على مركبة النصوص (أو السطوح) للصورة فقط دون اعتبار ما

سيظهر لنا بعد جمع الأحرف الأولى من هذه الرسالة، نجد الجملة التالية (سورية الله حاميه).

توجد ثلاث نقاط أساسية لبناء أي خوارزمية: الاختيار المناسب للغطاء، وخوارزميات التضمين وفك التضمين، الاختيار المناسب لمفتاح الموازة. على المرسل اختيار الغطاء ليناسب تطبيقه، فمثلاً في حال كان الغطاء عبارة عن صورة فهي سوف تخفي أي تغيرات وخاصة إذا كانت ذات جودة عالية وكان المحتوى قليلاً. تضمين الرسالة يجب أن يكون مستنداً إلى ثلاثة مبادئ مختلفة: أن يكون الغطاء موجوداً مسبقاً ولا يقوم المرسل بتعديله أو أن يولد الغطاء مستنداً إلى الرسالة المخفية ولا يعدل المرسل عليه، أو أن يكون الغطاء موجوداً مسبقاً ويقوم المرسل بتعديله في أثناء التضمين وهذا النوع هو الذي استخدمناه في هذا المشروع. إن نوع التغيرات ومكانها في الغطاء لها أثر كبير في إبهام الرسالة المضمَّنة، أي بشكل حدسي نستطيع القول في حال وجود تغييرات كبيرة فإنها تصبح سهلة الكشف أكثر من التغييرات الصغيرة.

2.3. التعريف الرياضي لتابع الموازة:

لنعدّ أنه يوجد مفتاح للموازة K_F ينتمي إلى المجموعة K (مجموعة من مفاتيح الموازة السرية) M هي كل الرسائل المُضمَّنة، و C هي مجموعة من الأغطية. إن تابع الإخفاء عبارة عن تابعين هما تابع التضمين وتابع فك التضمين:

$$Emb: C * K * M \rightarrow C$$

$$Ext: C \rightarrow M \quad \text{كما أن:}$$

$$\forall c \in C, k_s \in K, m \in M \rightarrow$$

$$Ext(Emb(c, k_s, m)) = m$$

وتدعى s رسالة التضمين. $Emb(c, k_s, m) = s$

إن M جزء من المجموعة M والتي تعبر عن عدد الرسائل المختلفة التي نستطيع تضمينها في غطاء معين. يدعى المقدار $\log_2 |M|$ سعة التضمين وتقاس

ذكية لتطوير إخفاء المعلومات في المعطيات متعددة الوسائط، عدد مساوٍ من الطرائق والأدوات الذكية التي تتطور لتحديد أسرارها وكشفها. وتسمى العملية التي تتم فيها محاولة طرف ما اكتشاف وجود المعلومات المخفية، أو قراءتها، أو تغييرها أو حذفها بتحليل الموارد (Stegano - analysis). ولنجاح هذه العملية لابد من أمرين: اكتشاف وجود معلومات مخفية، وتغيير المعلومات المكتشفة، أو حذفها أو مجرد قراءتها. وكل ما نود القيام به في هذا البحث هو محاولة إخفاء المعطيات بطريقة لا تثير الشبهات، أي لا تترك علامات أو أثراً يدل على حدوث تغيير ما. فمثلاً في حالة الإخفاء داخل الصور، يجب مراعاة عدة عوامل: منها عدم استخدام صور معروفة، أو نماذج من صور يمكن لأي شخص الحصول على نسخ منها (مثل صور الإنترنت) للإخفاء حيث تسهل المقارنة في حالة وجود صورتين. وكذلك مراعاة ألا يحدث تغيير ظاهر في الصور كتشوهها، أو تغيير ألوانها بشكل واضح. ولهذا ينصح بعدم إخفاء معطيات كثيرة في الصورة ذاتها خوفاً من تغيير هيتها، بطريقة تهدم الهدف الأساسي من استخدام التقنية، لأن إثارة الشبهة يعني إخفاق العملية. ومع وجود الحواسيب بمختلف سرعاتها أصبح فن تحليل الإخفاء من الأمور اليسيرة والتي لا تستهلك وقتاً طويلاً في التنبؤ بوجود معطيات مخفية في ملف نصي أو صورة مُرسلة عبر البريد الإلكتروني أو الانترنت بصورة عامة. فهدف من يجري الموارد هو عدم إثارة أي نقطة للشك بوجود معطيات مخفية، وإستراتيجية محلل الموارد هو الشك في كل الرسائل المُرسلة، وهذا لا يعني صعوبة أو استحالة هذه العملية، وكما قلنا: إن وجود الحواسيب المتطورة والفائقة السرعة جعلت من فحص الملفات المُرسلة أمراً ليس بالعسير. وهنا يكون دور القائم بعملية الإخفاء مهماً جداً في اختياره ملفات الغطاء التي يصعب معها التمييز فيما إذا كانت قد ضُمّت معطيات أم لا. فمن الممكن إرسال صور

لمركبات التلوين. ومن ثم تأخذ قيم عناصر الصورة الأصلية من القيم ابتداءً من القيمة صفر لمستوى الأسود حتى القيمة 255 لمستوى الأبيض وهذا يقابل الترميز باستخدام 8 خانات ثنائية. نبدأ بحساب قيمة الخطأ التربيعي الوسطي MSE :

$$MSE = \frac{\sum [f(i,j) - F(i,j)]^2}{NM}$$

إذ تتم عملية الجمع لعناصر الصورة كلها. ومن ثم نحسب الجذر التربيعي:

$$RMSE = \sqrt{MSE}$$

ثم نقوم بحساب القيمة $PSNR$:

$$PSNR = 10 \log_{10} \left(\frac{255^2}{\sum_{x,y} (p_{x,y} - \bar{p}_{x,y})^2} \right)$$

تتراوح القيم العملية للنسبة $PSNR$ في الصور ثلاثية الأبعاد بين 35 و 90 ديسيبل.

ويتم غالباً أخذ رقمين بعد الفاصلة عند اعتماد قيم هذه النسبة، مثلاً 75.65 وتفيد قيم هذه النسبة في إجراء المقارنة بين عدة صور معاد تركيبها للدلالة على الصورة ذات الجودة الأعلى. تستخدم حالياً توابع شهيرة لقياس التشوه في مجال الصورة والصوت، التشوه ناتج مثلاً عن الضياع خلال الضغط والترميز، من هذه التوابع نسبة الإشارة إلى الضجيج SNR والنسبة $PSNR$ وتقاس هذه التوابع بالديسيبل.

$$SNR(dB) = 10 \log_{10}(SNR)$$

من أجل صورة أبعادها $N \times M$ عناصرها ممثلة باستخدام 8 بت، تعطي علاقة المعيار $PSNR$ كما يأتي:

$$PSNR(dB) = 10 \log_{10} \left(\frac{255^2}{\sigma_f^2} \right)$$

إذ:

$$\sigma_f^2 = \frac{1}{N \times M} \sum_{i=0}^{M-1} \sum_{j=0}^{N-1} (X(i,j) - Y(i,j))^2$$

4. استرجاع المعلومات في النماذج الثلاثية الأبعاد

للصور:

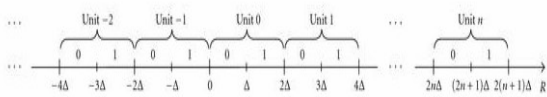
مع التطور الهائل في ابتكار خوارزميات الموارد أصبح لا بد من تطوير طرائق اختراق وتحليل الإخفاء [5] [6] [7] [8]. لكل طريقة أو أداة

الملفات المرسلّة وتخمين (أو تجربة) كل الخوارزميات المتوافرة لدى المحلل، هذه الطريقة قد تستهلك وقتاً، لكنها في النهاية قد تصل إلى النتيجة المطلوبة.

الاختراق العشوائي: حيث لا يمتلك المحلل أي معلومات عن وجود معطيات مرسلّة، أو وجود ملف غطاء، وهذا ما يحصل كثيراً في شبكات الانترنت، دون علمنا أو انتباهنا، إذ إن الملفات التي تُرسل عبر الانترنت أو البريد الإلكتروني يخضع معظمها (إن لم يكن جميعها) إلى الفحص والتحليل، ولا غرابة في ذلك.

5. خوارزمية الموارد بطريقة الإزاحة:

تختلف طريقة الإزاحة أو تقابل بنية معطيات المستطيلات المتقاطعة المتجاورة *ABM* (Adjacent Bin Mapping) عن غيرها من عمليات الموارد بأنها لا تجري أي تعديل في قيم الصورة وبدلاً من ذلك تقوم بتعديل أماكن القيم ضمن الصورة وذلك وفقاً لسلسلة أو لرسالة ثنائية معينة [1] [2] [3] [4]. لنأخذ شعاعاً ذا بعد واحد كما هو موضح الشكل (5) ومن ثم نقوم بتعميم هذه المسألة على الصور ثلاثية الأبعاد.

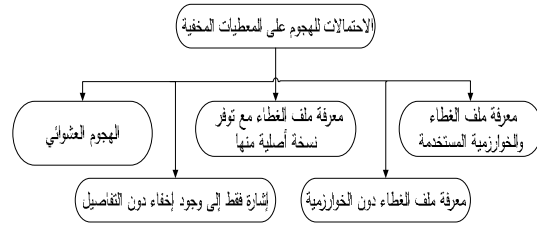


الشكل (5) تقسيم الشعاع ذو البعد الواحد إلى وحدات.

نفترض أنه لدينا $C = (e_1, e_2, \dots, e_N)$ إذ e_i عبارة عن القيم ذات الدليل (أو الموقع) i و

R نستخدمها لنعطي مجال التوزيعات للعناصر من (e_1, e_2, \dots, e_N) وبتقسيم R إلى مجموعة من الوحدات غير المتراكبة والتي تملك الحجم نفسه. و نقوم ضمن كل وحدة بالتقسيم إلى قسمين يميني ويساري. ونقوم ضمن هذه الوحدة بتخصيص القسم اليساري للخانات الثنائية التي تقابل

شخصية، أو صور احتفالات جماعية، أو ملف صوتي خاص وغير متوافر عند محلي الإخفاء، ومثال بسيط على ذلك، استغلال ملف صوتي لحداد وهو يستخدم آلة كهربائية لصقل الحديد، أو صوت سرب طيور، وغيرها من الأساليب المتوافرة وبسهولة، وضمن البيئة المحيطة لنا. تمتلك عملية تحليل الإخفاء خمسة احتمالات في مهاجمة ملف الغطاء المرسل، وهي موضحة في الشكل (4):



الشكل (4): احتمالات اختراق الإخفاء وكسره.

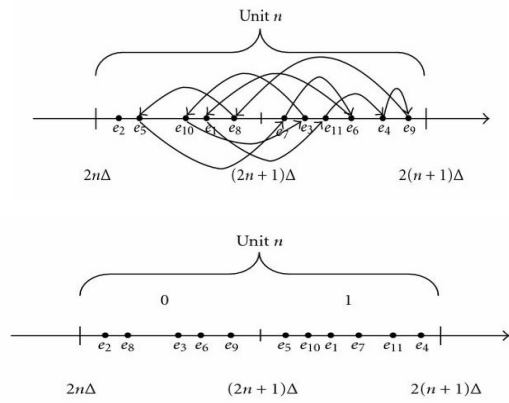
الاختراق المباشر بعد معرفة ملف الغطاء والخوارزمية المستخدمة: هذه الحالة تنفذ عندما تكون المعلومات المسربة كافية لتمييز ملف الغطاء المستخدم، والخوارزمية المستخدمة في الإخفاء، وتعد هذه الطريقة أسهل الطرائق الخمس المتوافرة لدى المهاجم (المحلل).

معرفة ملف الغطاء دون معرفة الخوارزمية المستخدمة: هذه الطريقة ليست عسيرة على محلل الموارد، وكما أشرنا إلى وجود الحاسوب المتطور الذي يمكن المحلل من تجربة أكثر من خوارزمية متداولة أو طريقة مستخدمة في الإخفاء.

معرفة ملف الغطاء مع توافر نسخة أصلية منه: بمقارنة بسيطة بين عناصر ملف الغطاء الأصلي مع الغطاء المرسل يستطيع محلل الموارد أن يكتشف الخوارزمية المستخدمة، وكسر الإخفاء المستخدم، واستخراج المعطيات السرية المرسلّة.

ملف الغطاء والخوارزمية كلاهما غير معروف: ما يملكه المحلل هو فقط إشارة إلى وجود إخفاء في أحد الملفات المرسلّة، دون تحديد الملف المقصود ولا الخوارزمية المستخدمة، هنا يكون الهجوم على كل

اكتمل معنا الجزء اليساري فننوقف ونكون بذلك تمكنا من تضمين البتات التسعة [100110100]. ولتقليل التشبث في الكائن الغطاء بالمعيار الحدي MSE (Mean Square Error) يجب أن تكون القيمة موزعة في وحدة الموارد بحيث تطابق الرسالة المراد تضمينها ومن ثمّ كي نتمكن من تحقيق سعة عالية يجب أن تحقق الرسالة مواصفات إحصائية معينة وذلك يمكن أن يقلل التشبث الحاصل عن تبديل أماكن بعض عناصر الصورة وذلك من خلال تقليل التغيرات المحدثة في الصورة. كما يوضح الشكل (7).

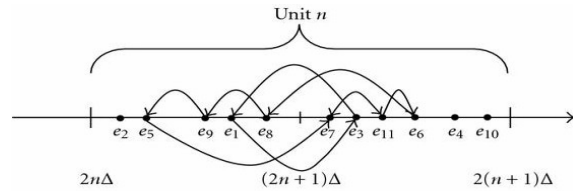


الشكل (7) آلية تبديل أماكن العناصر.

عملية استرجاع المعلومات: يمكن فك تضمين خوارزمية الموارد بطريقة الإزاحة عن طريق القيام بفصل كل وحدة تضمين عن الأخرى ثم ننظر في مكونات هذه الموارد فإذا كانت القيم ضمن الوحدة في الحيز اليساري تأخذ القيمة 0 وإذا كانت في الحيز اليميني تأخذ القيمة 1. يمكن إجراء عملية الموارد وفك الموارد بشكل متوازٍ كون كل وحدة تضمين مستقلة عن الأخرى أي يمكننا القيام بعملية الموارد في الوحدة N وبشكل متوازٍ نقوم بعملية فك الموارد في الوحدة $N-1$ ومن ثمّ يكون العمل وفق اختيار فهرسة عشوائية لعملية الموارد بمعنى أنه يمكن أن نضع الخمس خانات الثنائية الأولى من الرسالة في وحدة والخمس خانات الثنائية التالية من الرسالة في وحدة أخرى مختارة بطريقة عشوائية. تمكنا هذه

القيمة 0 ضمن الرسالة المراد مواراتها ونقوم بتخصيص القسم اليميني للخانات التي تقابل القيمة 1.

عملية تضمين المعلومات: تتم قراءة الرسالة المراد تضمينها من (نص أو صورة) وتحويلها إلى قيم ثنائية باستخدام برنامج الماتلاب ولاحقاً يتم تضمينها في الصور ثلاثية الأبعاد. فعند ورود 0 ننظر إلى القيمة الموافقة في وحدة الموارد فإذا كانت هذه القيمة موجودة ضمن القسم اليساري نتركها كما هي أمّا إذا كانت هذه القيمة موجودة ضمن القسم اليميني فنقوم بإزاحتها إلى القسم اليساري، وهكذا كما يبيّن الشكل (6). يجب ألا يزيد عدد العناصر المضمنة (الخانات) في وحدة الموارد على عدد عناصر وحدة الموارد ذاتها.



الشكل (6) آلية التضمين.

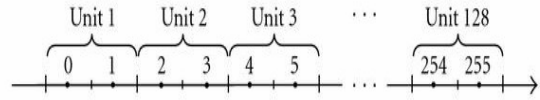
وكمثال وبفرض لدينا مجموعة من العناصر ضمن وحدة الموارد $Unit_N$

$(e_1, e_2, e_3, e_4, e_5, e_6, e_7, e_8, e_9, e_{10}, e_{11})$

سنقوم بتضمين مجموعة من القيم فيها ولنكن [10011010010]. نلاحظ حسب الشكل أن e_1 موجود في القسم اليساري المخصص للأصفار ولكن لما كانت قيمة الخانة الثنائية المقابلة في الرسالة هي 1 فإنه يجب نقله إلى القسم اليميني. و e_2 موجود في القسم اليساري المخصص للأصفار ولكن لما كانت قيمة الخانة الثنائية المقابلة في الرسالة هي 0 فإنه يجب إبقاؤه في مكانه. و e_3 موجود في القسم اليميني المخصص للأصفار ولكن لما كانت قيمة الخانة الثنائية المقابلة في الرسالة هي 0 فإنه يجب نقله إلى القسم اليساري، وهكذا. وتستمر هذه العمليات إلى أن يكتمل أحد الأجزاء وفي مثالنا هذا نجد أنه بعد إجراء خمسة تغييرات في $(e_2, e_3, e_6, e_8, e_9)$

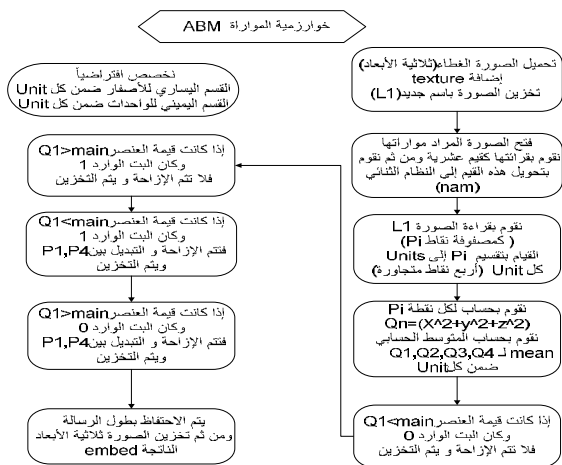
على محاور (X, Y, Z) ولهذه الأشعة الثلاثة الطول نفسه ومن ثم يمكن أن نقسم كلاً منها إلى أقسام متساوية Δ . نحسب أولاً منحنى التوزيع الإحصائي على كل محور (مثال: عدد أرقام الإحداثيات في كل بنية معطيات المستطيلات المتقاطعة Bin). من أجل عنصر الغطاء الممثل بعدد ذي فاصلة عائمة فإن حساب التوزيع الإحصائي يكون عرضةً للقيمة الصغرى ضمنه. مثلاً بالإشارة إلى أصغر قيمة عبر المحور X على أنها p_{xm} نقوم بحساب القيمة $P_{xb} = \left\lfloor \frac{p_{xm}}{\Delta} \right\rfloor \times \Delta$. لكل قيمة P_{ix} في الشكل الهندسي ثلاثي الأبعاد نعرف أنها متوضعة في بنية معطيات تقاطع المستطيلات ذات الترتيب $\left(\left\lfloor \frac{P_{ix}-P_{xb}}{\Delta} \right\rfloor + 1 \right)$ من نقطة البدء p_{xb} . ما دامت عملية التضمين لا تولد قيمةً جديدةً يمكن أيضاً الحصول على قيمة p_{xb} من الإحداثي الأصغر في هندسة المؤارة ذات المقدار Δ . بذلك يكون منحنى التوزيع الإحصائي الصورة المضمنة يطابق منحنى التوزيع الإحصائي الصورة قبل التضمين. يبين الشكل (9) المخطط الخوارزمي لعملية التضمين باستخدام طريقة الإزاحة. ويبين الشكل (10) المخطط الخوارزمي لعملية الاسترجاع باستخدام طريقة الإزاحة.

الطريقة من القيام باختيار مفتاح بسلسلة عشوائية بحيث تقوم هذه السلسلة باختيار الوحدة التي سنضمّن فيها وبذلك تصبح عملية المؤارة باستخدام مفتاح سري. ومن أجل إخفاء كمية واحدة من المعطيات ضمن الوحدة نقوم بزيادة عدد الأصفار والوحدات المضمنة باختيار $\theta \in [0,1]$ إذ سنقوم بعملية ضبط كمية الخانات الثنائية المضمنة ومن ثم نستخدمها في عملية فك المؤارة ولنفترض أن لدينا عنصرين L و M موجودين في بنيتي معطيات المستطيلات المتقاطعة Bin ولنفترض دوماً أن $L > M$ فيكون الحد الأدنى من الخانات الثنائية التي يمكن تضمينها في وحدة هو M والحد الأعلى هو $(L + M) - 1$ ومع وجود المحددة θ يصبح لدينا الحد الأدنى $\lfloor M \times \theta \rfloor$ والحد الأعلى هو $\lceil ((L + M) - 1) \times \theta \rceil$ إذ يمثل x تابع السقف $function ceil$ أي أكبر عدد صحيح أصغر من x . وبذلك فإن عملية المؤارة يمكن أن تُضبط بواسطة المحددة θ والتي سيتشارك فيها كل من المرسل والمستقبل.

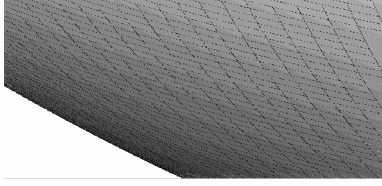


الشكل (8) الناتج النهائي لعمل الخوارزمية.

إن طريقة الإزاحة تستخدم طريقة الهندسة ثلاثية الأبعاد ذات الإحداثيات فعلى فرض وجود N شعاع موضوعة في شكل هندسي ثلاثي البعد ممثل من خلال $P = (P_1, \dots, P_N)$ إذ يحدد الشعاع P_i الإحداثيات $\{P_{1x}, P_{1y}, P_{1z}\}$ في R^3 من أجل $i = 1, 2, \dots, N$. يمكن تطبيق طريقة الإزاحة على مجموعات ثلاثية الإحداثيات هي $\{P_{1x}, P_{2x}, \dots, P_{Nx}\}, \{P_{1y}, P_{2y}, \dots, P_{Ny}\}, \{P_{1z}, P_{2z}, \dots, P_{Nz}\}$



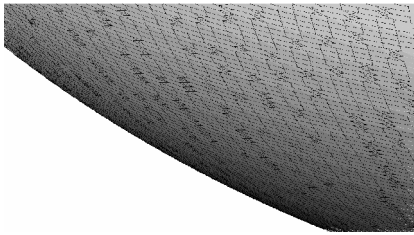
الشكل (9) المخطط الخوارزمي لعملية التضمين باستخدام طريقة الإزاحة.



الشكل (12) البنية الشبكية للصورة ثلاثية الأبعاد قبل تطبيق خوارزميات الموارد.



الشكل (13): ملف الصورة المراد مواراتها.



الشكل (14): البنية الشبكية للصورة ثلاثية الأبعاد بعد تطبيق الخوارزمية.



الشكل (15): ملف الصورة المسترجعة.

بحساب نسبة الإشارة إلى الضجيج مأخوذة بالديسيبل ($PSNR = 67,7786 \text{ db}$) وهي قيمة جيدة مقارنة بالقيم الموجودة في المراجع العلمية إذ تتراوح هذه القيم بين (35db) و (100db).

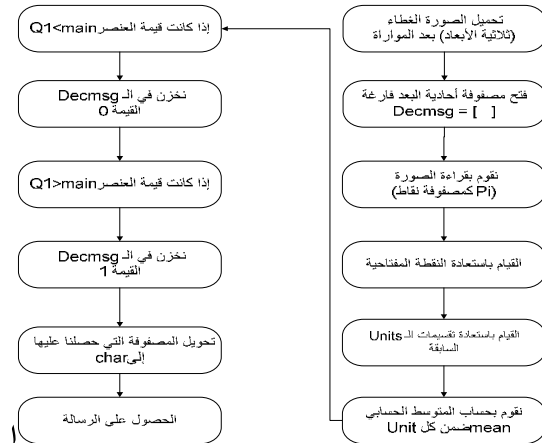
الآن نبيّن علاقة حجم الملف المضمن بالمعيار $PSNR$ بعد تطبيق خوارزمية ABM ، النتائج التجريبية أعطت القيم حسب الجدول (1).

الجدول (1): علاقة حجم الملف المضمن بالمعيار $PSNR$

Size (KB)	0.1	0.5	1	2	3	4	5
PSNR (db)	96	87	82	77	74	73	71

يبين الشكل (17) علاقة حجم الملف المضمن بالمعيار $PSNR$ بعد تطبيق خوارزمية ABM بيانياً.

خوارزمية الاستعادة لخوارزمية ABM

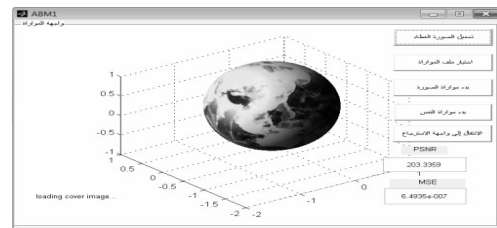


شكل (10) المخطط الخوارزمي لعملية الاسترجاع باستخدام طريقة الإزاحة.

6. التجارب العملية وتحليل النتائج

استخدمنا برنامج الماتلاب لكتابة البرمجيات المطلوبة وفي أثناء التنفيذ العملي استخدمنا الصورة ثلاثية الأبعاد للكرة الأرضية كملف غطاء واستخدمنا ملفات صور ثنائية البعد وملفات نصية كملفات مراد مواراتها، وبعد تطبيق خوارزمية الإزاحة على هذه المعطيات حصلنا على النتائج الآتية.

يعرض الشكل (11) كائن الغطاء وهو صورة كرة أرضية ثلاثية الأبعاد أي عبارة عن مجموعة من القمم مضافاً إليها بنية الطلي $texture$ المناسبة عدد القمم المختارة هو 1000000 نقطة. ويبين الشكل (12) البنية الشبكية للصورة ثلاثية الأبعاد قبل الموارد. كما قمنا بتخزين ملف صورة حجمه $4,08 \text{ KB}$ والمبين في الشكل (13). ويبين الشكل (14) البنية الشبكية للصورة ثلاثية الأبعاد بعد تطبيق الخوارزمية. وبعد الاسترجاع حصلنا على الشكل (15) المطابق للأصل بشكل كبير.



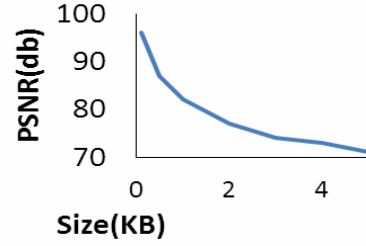
الشكل (11) كائن الغطاء وهو عبارة عن صورة كرة أرضية ثلاثية الأبعاد

7 - الدراسات المستقبلية:

- أُجريت الدراسة على الصور ثلاثية الأبعاد فقط فاقترح القيام بتجربة تنفيذ المؤارة في النماذج المختلفة الثلاثية الأبعاد من صوت وفيديو.
- إن مجال البحث في الصور الثلاثية الأبعاد كبير جداً وبقي الكثير من مكونات النماذج ثلاثية الأبعاد التي يمكن استثمارها في عملية المؤارة، فميزة التعامل مع نماذج ثلاثية الأبعاد تكمن في إمكانية إظهار المناطق المحجوبة في الصور ثنائية البعد ومن ثم إمكانية إجراء عملية المؤارة ضمن هذه المناطق.
- وخلال بحثنا قمنا بتضمين بت واحد في كل عملية تضمين وفك التضمين ويمكن المتابعة في هذا الموضوع للقيام بالدراسة المناسبة لتضمين أكثر من بت في كل عملية تضمين وفك التضمين.

8 - الخاتمة:

- البحوث التي تتعلق بالنماذج ثلاثية الأبعاد جديدة التداول نسبياً وبعد أن قمنا بهذا البحث توصلنا إلى طريقة للقيام بعملية المؤارة وعملية استرجاع المعلومات وبدأت النتائج أكثر من جيدة.
- سنورد مقتطفات من الكود البرمجي في الملحق 1



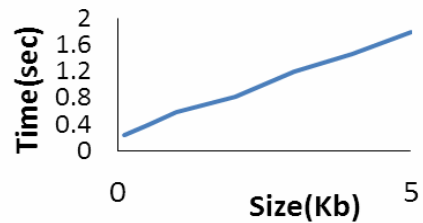
الشكل (17): علاقة حجم الملف المضمن بالمعيار .PSNR

نلاحظ من خلال المخطط البياني أنه كلما زاد حجم الصورة نقصت نسبة الإشارة إلى الضجيج. والآن نبين علاقة حجم الملف المضمن بزمن التضمين بعد تطبيق خوارزمية *ABM*، النتائج التجريبية أعطت القيم حسب الجدول (2).

الجدول (2): علاقة حجم الملف المضمن بزمن التضمين.

Size (Kb)	0.1	0.5	1	2	3	4	5
Time (sec)	0.23	0.39	0.58	0.81	1.2	1.46	1.79

يبين الشكل (18) علاقة حجم الملف المضمن بزمن التضمين بعد تطبيق خوارزمية *ABM* بيانياً. ونلاحظ أنه كلما زاد حجم الملف زاد زمن التضمين.



الشكل (18): علاقة حجم الملف المضمن بزمن التضمين.

مقتطفات من برمجة خوارزمية الاستعادة باستخدام
الإزاحة:

```
msg = [];
for j = 1:size(x,2)
for i = 1:size(x,1)/2 - 1
if index >= 1
msg = [msg 1];
end;
msg = [msg 0];
end;
index = index - 1;
else
break;
end;
end;
end;
```

الملحق (1)

مقتطفات من برمجة خوارزمية الموارد باستخدام
الإزاحة:

```
index = 1;
[M N] = size(z1)
for k = 1:floor(M/2),
for j = 1:floor(N/2),
vec1 = reshape(temp(:, :, 1), 2 * 2, 1);
vec2 = reshape(temp(:, :, 2), 2 * 2, 1);
vec3 = reshape(temp(:, :, 3), 2 * 2, 1);
vec4 = vec1 + vec2 + vec3;
val = mean(vec4);
mylogical = (vec4 <= val);
if index <= length(vbmsg),
if vbmsg(index) ~ mylogical(1);
end
end
end
place(2 * (k - 1) + 1, 2 * (k - 1) + 2, 2 * (j - 1) + 1, 2 * (j - 1) + 2, 1)
= reshape(vec1, 2, 2);
place(2 * (k - 1) + 1, 2 * (k - 1) + 2, 2 * (j - 1) + 1, 2 * (j - 1) + 2, 2) = reshape(vec2, 2, 2);
place(2 * (k - 1) + 1, 2 * (k - 1) + 2, 2 * (j - 1) + 1, 2 * (j - 1) + 2, 3) = reshape(vec3, 2, 2);
index = index + 1;
end
end
```

المراجع

- [8] S .Lyu and H .Farid, "Steganalysis using high-order image statistics," IEEE Transactions on Information Forensics and Security, vol .1, no.1, pp .111- 119, March 2006.
- [9] H .Date, S .Kanai, and T .Kishinami, "Digital Watermarking for 3D Polygons Model Using Multiresolutional Wavelet Decomposition," Proc .Sixth IFIP WG 5.2 Int'l Workshop Geometric Modeling:Fundamentals and Applications)GEO- 6 '98(, pp .296- 307, Dec .1998.
- [10] S .Zafeiriou, T .Anastasios, and I .Pitas, "Blind Robust Watermarking Schemes for Copyright Protection of 3D Mesh Objects," IEEE Trans .Visualization and Computer Graphics, vol .11, no .5,pp . 596- 607, Sept/.Oct .2005.
- [11] R .Ohbuchi, A .Mukaiyama, and S . Takahashi, "A Frequency -Domain Approach to Watermarking 3D Shapes," Computer Graphics Forum, vol .21, no . 3, pp .373- 382, 2002.
- [12] F .Cayre, O .Devillers, F .Schmitt, and H .Maître, "Watermarking 3D Triangle Meshes for Authentication and Integrity," INRIA Research Report RR- 5223, June 2004.
- [13] Ryutarou Ohbuchi, Hiroshi Masuda, Masaki Aono "Embedding Data in 3D Models"IBM Japan Tokyo Research Laboratory.
- [1] Haotian Wu, Jean-Luc Dugelay "Steganography in 3D Geometries and Images by Adjacent Bin Mapping " Volume 27 (2009), Jan.
- [2] Alexander Bogomjakov Craig Gotsman Martin Isenburg" Distortion-Free Steganography for Polygonal Meshes " Volume 27 (2008), Number 2
- [3] WANG C-.M., CHENG Y-.M" :.An efficient information hiding algorithm for polygon models ."ComputerGraphics Forum 24, 3 (2005), 591–600.
- [4] H .T .Wu, J-.L .Dugelay, and Y .M . Cheung, "A Data Mapping Method for Steganography and Its Application to Images," Proceedings of the 10th International Workshop on Information Hiding, Santa Barbara,USA, May, 2008.
- [5]. Westfeld, "High capacity despite better steganalysis) F5 – a steganographic algorithm(," LNCS :Proceedings of the 4th International Workshop on Information Hiding, vol .2137, pp . 289- 302, April 2001.
- [6] A .C .Popescu and H .Farid, "Statistical Tools for Digital Forensics," Proc .of Intl .Workshop on Info .Hiding, Toronto, Canada, & Lect .Notes in Comp .Sc., vol .3200, pp .128–147, May 2004.
- [7] J .Fridrich, M .Goljan, and D .Hogea, "Steganalysis of JPEG Images :Breaking the F5 Algorithm," Proc .of Intl . Workshop on Info .Hiding, 2002'.